



DG para eqs.  
elípticas e  
parabólicas

Bruno S.  
Carmo

Introdução

Problemas  
difusivos

Form. inconsistente  
Form. consistente

Tipos de  
fluxos  
difusivos

## Formulação de Galerkin descontínuo para problemas elípticos e parabólicos

PME5425 – Métodos de Elementos Finitos de Alta Ordem  
com Aplicações em Mecânica dos Fluidos e Transferência  
de Calor

Prof. Bruno S. Carmo

Programa de Pós-Graduação em Engenharia Mecânica  
Escola Politécnica da Universidade de São Paulo

2017



# Sumário

DG para eqs.  
elípticas e  
parabólicas

Bruno S.  
Carmo

Introdução

Problemas  
difusivos

Form. inconsistente  
Form. consistente

Tipos de  
fluxos  
difusivos

## 1 Introdução

## 2 Problemas difusivos

- Formulação inconsistente
- Formulação consistente

## 3 Tipos de fluxos difusivos



# Introdução

DG para eqs.  
elípticas e  
parabólicas

Bruno S.  
Carmo

Introdução

Problemas  
difusivos

Form. inconsistente  
Form. consistente

Tipos de  
fluxos  
difusivos

- Embora os métodos de Galerkin descontínuo (DG) tenham sido originalmente aplicados a problemas hiperbólicos, mais recentemente formulações apropriadas para problemas elípticos e parabólicos têm sido desenvolvidas.
- A principal motivação para isso é resolver as equações do escoamento viscoso compressível com uma única formulação, facilitando a parallelização do código.
- Apresentaremos as diferentes formulações de fluxo difusivo desenvolvidas e compararemos seus desempenhos.



# Fluxo difusivo – formulação inconsistente I

DG para eqs.  
elípticas e  
parabólicas

Bruno S.  
Carmo

Introdução

Problemas  
difusivos

Form. inconsistente

Form. consistente

Tipos de  
fluxos  
difusivos

Equação de difusão unidimensional:  $\frac{\partial u}{\partial t} = \frac{\partial^2 u}{\partial x^2}$ .

Admitindo condições de contorno periódicas, aplicamos o método dos resíduos ponderados e fazemos a integração por partes. Para um elemento  $\Omega_j$  com centro geométrico em  $x = 0$ , temos então,

$$\int_{\Omega_j} \frac{\partial u}{\partial t} v \, dx + \int_{\Omega_j} \frac{\partial u}{\partial x} \frac{\partial v}{\partial x} \, dx - \left( \frac{\partial \tilde{u}}{\partial x} \right)_R v_R^- + \left( \frac{\partial \tilde{u}}{\partial x} \right)_L v_L^+ = 0. \quad (1)$$

Assumindo a condição inicial,

$$u(x, 0) = u^- + H(x)(u^+ - u^-), \quad H(x) = \begin{cases} 0 & x < 0 \\ 1/2 & x = 0 \\ 1 & x > 0 \end{cases}$$



# Fluxo difusivo – formulação inconsistente II

DG para eqs.  
elípticas e  
parabólicas

Bruno S.  
Carmo

Introdução

Problemas  
difusivos

Form. inconsistente  
Form. consistente

Tipos de  
fluxos  
difusivos

Temos a solução analítica

$$u(x, t) = \frac{1}{2}(u^+ + u^-) + \frac{1}{2}(u^+ - u^-) \operatorname{erf}\left(\frac{x}{\sqrt{4t}}\right)$$

Em  $x = 0$ ,  $u(0, t) = \frac{1}{2}(u^+ + u^-)$ ,  $\forall t > 0$ . Assim, uma escolha natural para o fluxo numérico é a média dos valores à esquerda e à direita da descontinuidade, ou seja,

$$\left(\frac{\partial \tilde{u}}{\partial x}\right)_R = \frac{1}{2} \left[ \left(\frac{\partial u}{\partial x}\right)^-_R + \left(\frac{\partial u}{\partial x}\right)^+_R \right].$$

Substituindo a expressão do fluxo na expressão (1), temos a seguinte expressão semidiscreta para uma malha equispacada

$$\frac{\partial \mathbf{u}_j}{\partial t} + \frac{1}{\Delta x^2} [\mathbf{A} \mathbf{u}_{j-1} + \mathbf{B} \mathbf{u}_j + \mathbf{C} \mathbf{u}_{j+1}] = 0$$



# Fluxo difusivo – formulação inconsistente III

DG para eqs.  
elípticas e  
parabólicas

Bruno S.  
Carmo

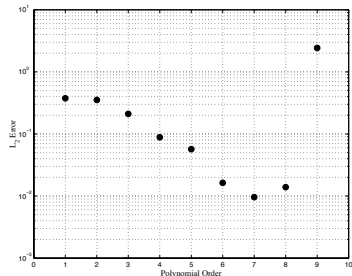
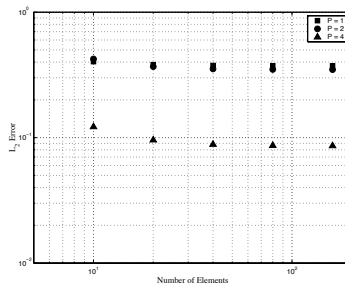
Introdução

Problemas  
difusivos

Form. inconsistente  
Form. consistente

Tipos de  
fluxos  
difusivos

Essa formulação, embora seja estável, é inconsistente. Por exemplo, tomando  $P = 0$ , teremos  $\frac{\partial \mathbf{u}_j}{\partial t} = 0$ .



Convergência da solução numérica da equação de difusão com condição inicial  $u(x, 0) = \sin x$ , em um domínio  $x \in [0, 2\pi]$ .



# Fluxo difusivo – formulação consistente I

DG para eqs.  
elípticas e  
parabólicas

Bruno S.  
Carmo

Introdução

Problemas  
difusivos

Form. inconsistente  
Form. consistente

Tipos de  
fluxos  
difusivos

Nos concentraremos especificamente no fluxo devido a um operador de segunda ordem (laplaciano), por isso, consideraremos o problema modelo:

$$\begin{aligned} -\nabla^2 u &= f && \text{em } \Omega, \\ u &= 0 && \text{em } \partial\Omega \end{aligned}$$

Reescrevemos o problema como um sistema de primeira ordem

$$\begin{aligned} \sigma &= \nabla u && \text{em } \Omega, \\ \nabla \cdot \sigma &= f && \text{em } \Omega, \\ u &= 0 && \text{em } \partial\Omega \end{aligned}$$



# Fluxo difusivo – formulação consistente II

DG para eqs.  
elípticas e  
parabólicas

Bruno S.  
Carmo

Introdução

Problemas  
difusivos

Form. inconsistente

Form. consistente

Tipos de  
fluxos  
difusivos

Multiplicando essas equações respectivamente pelas funções de teste  $\tau$  e  $v$  e integrando num elemento  $\Omega^e$  e aplicando o teorema da divergência nos termos dos lados direitos:

$$\int_{\Omega^e} \sigma \tau dx = - \int_{\Omega^e} u \nabla \tau dx + \int_{\partial \Omega^e} u \tau n ds,$$
$$\int_{\Omega^e} \sigma \nabla v dx = \int_{\Omega^e} f v dx + \int_{\partial \Omega^e} \sigma v n ds.$$

Os espaços de funções apropriados são:

$$V_h := \{v \in L^2(\Omega) : v|_{\Omega^e} \in \mathcal{P}_p(\Omega^e) \quad \forall \Omega^e\},$$
$$\Sigma_h := \{\tau \in [L^2(\Omega)]^2 : \tau|_{\Omega^e} \in [\mathcal{P}_p(\Omega^e)]^2 \quad \forall \Omega^e\}.$$



# Fluxo difusivo – formulação consistente III

DG para eqs.  
elípticas e  
parabólicas

Bruno S.  
Carmo

Introdução

Problemas  
difusivos

Form. inconsistente  
Form. consistente

Tipos de  
fluxos  
difusivos

Podemos então aproximar os termos de fronteira com *fluxos numéricos*  $\tilde{u}$  e  $\tilde{\sigma}$ :

$$\int_{\Omega^e} \sigma \tau dx = - \int_{\Omega^e} u \nabla \tau dx + \int_{\partial \Omega^e} \tilde{u} \tau \mathbf{n} ds,$$
$$\int_{\Omega^e} \sigma \nabla v dx = \int_{\Omega^e} f v dx + \int_{\partial \Omega^e} \tilde{\sigma} v \mathbf{n} ds.$$

A escolha do fluxo afeta a estabilidade e acurácia do método, assim como a esparsidade e simetria das matrizes.



# Fluxo difusivo – consistência e conservação

DG para eqs.  
elípticas e  
parabólicas

Bruno S.  
Carmo

Introdução

Problemas  
difusivos

Form. inconsistente  
Form. consistente

Tipos de  
fluxos  
difusivos

O fluxo numérico é *consistente* se

$$\tilde{u}(v) = v|_{\partial\Omega^e}, \quad \tilde{\sigma}(v, \nabla v) = \nabla v|_{\partial\Omega^e}$$

sempre que  $v$  for uma função suave que satisfaça condições de contorno do tipo Dirichlet.

Os fluxos numéricos  $\tilde{u}$  e  $\tilde{\sigma}$  serão *conservativos* se  $\tilde{u}(\cdot)$  e  $\tilde{\sigma}(\cdot, \cdot)$  tem valor único em  $\partial\Omega^e$ .



# Fluxo difusivo – média e salto I

DG para eqs.  
elípticas e  
parabólicas

Bruno S.  
Carmo

Introdução

Problemas  
difusivos

Form. inconsistente  
Form. consistente

Tipos de  
fluxos  
difusivos

Para uma variável  $q$ , definimos a média  $\{q\}$  e o salto  $\llbracket q \rrbracket$  de  $q$  numa aresta  $e$  compartilhada pelos elementos  $\Omega^1$  e  $\Omega^2$ , cujas normais  $n_1$  e  $n_2$  de  $e$  apontam para o exterior de  $\Omega^1$  e  $\Omega^2$  respectivamente:

$$\{q\} = \frac{1}{2}(q_1 + q_2), \quad \llbracket q \rrbracket = q_1 n_1 + q_2 n_2.$$

Se  $q$  for escalar, o salto  $\llbracket q \rrbracket$  é um vetor paralelo à normal da aresta. Se  $q$  for um vetor, o salto é um escalar.

Temos a seguinte identidade:

$$\int_{\partial\Omega^e} q_e \varphi_e \mathbf{n}_e ds = \int_{\partial\Omega^e} \llbracket q \rrbracket \{ \varphi \} ds + \int_{\partial\Omega^e} \{ q \} \llbracket \varphi \rrbracket ds$$



# Fluxo difusivo – média e salto II

DG para eqs.  
elípticas e  
parabólicas

Bruno S.  
Carmo

Introdução

Problemas  
difusivos

Form. inconsistente  
Form. consistente

Tipos de  
fluxos  
difusivos

Portanto, podemos escrever:

$$\int_{\Omega^e} \sigma \tau \, dx = - \int_{\Omega^e} u \nabla \tau \, dx + \int_{\partial \Omega^e} [\tilde{u}] \{\tau\} \mathbf{n} \, ds + \int_{\partial \Omega^e} \{\tilde{u}\} [\tau] \mathbf{n} \, ds,$$
$$\int_{\Omega^e} \sigma \nabla v \, dx = \int_{\Omega^e} f v \, dx + \int_{\partial \Omega^e} [\tilde{\sigma}] \{v\} \mathbf{n} \, ds + \int_{\partial \Omega^e} \{\tilde{\sigma}\} [v] \mathbf{n} \, ds.$$

Ou, alternativamente:

$$\int_{\Omega^e} \nabla u \nabla v \, dx + \int_{\partial \Omega^e} ([\tilde{u} - u] \{\nabla v\} - \{\sigma\} [v]) \, ds +$$
$$+ \int_{\partial \Omega^e} (\{\tilde{u} - u\} [\nabla v] - [\tilde{\sigma}] \{v\}) \, ds = \int_{\Omega^e} f v \, dx.$$



# Fluxo difusivo – operadores auxiliares

DG para eqs.  
elípticas e  
parabólicas

Bruno S.  
Carmo

Introdução

Problemas  
difusivos

Form. inconsistente  
Form. consistente

Tipos de  
fluxos  
difusivos

Operadores de “lifting”  $r$  e  $l$ :

$$\int_{\Omega^e} r(\varphi)\tau \, dx = - \int_{\partial\Omega^e} \varphi[\tau] \, ds, \quad \int_{\Omega^e} l(q)\tau \, dx = - \int_{\partial\Omega^e} q[\tau] \, ds$$

$$\alpha^j(u, v) = \int_{\partial\Omega^e} \mu[u] \cdot [v] \, ds.$$

onde  $\mu$  é uma penalidade.

$$\alpha^r(u, v) = \int_{\Omega^e} \eta r([u]) \cdot r([v]) \, dx.$$

onde  $\eta$  é um número positivo.



# Tipos de fluxos difusivos - formulação escalonada

DG para eqs.  
elípticas e  
parabólicas

Bruno S.  
Carmo

Introdução

Problemas  
difusivos

Form. inconsistente  
Form. consistente

Tipos de  
fluxos  
difusivos

Method	$\hat{u}_K$	$\hat{\sigma}_K$
Bassi–Rebay [10]	$\{u_h\}$	$\{\sigma_h\}$
Brezzi et al. [22]	$\{u_h\}$	$\{\sigma_h\} - \alpha_r(\llbracket u_h \rrbracket)$
LDG [41]	$\{u_h\} - \beta \cdot \llbracket u_h \rrbracket$	$\{\sigma_h\} + \beta \llbracket \sigma_h \rrbracket - \alpha_j(\llbracket u_h \rrbracket)$
IP [50]	$\{u_h\}$	$\{\nabla_h u_h\} - \alpha_j(\llbracket u_h \rrbracket)$
Bassi et al. [13]	$\{u_h\}$	$\{\nabla_h u_h\} - \alpha_r(\llbracket u_h \rrbracket)$
Baumann–Oden [15]	$\{u_h\} + n_K \cdot \llbracket u_h \rrbracket$	$\{\nabla_h u_h\}$
NIPG [64]	$\{u_h\} + n_K \cdot \llbracket u_h \rrbracket$	$\{\nabla_h u_h\} - \alpha_j(\llbracket u_h \rrbracket)$
Babuška–Zlámal [7]	$(u_h _K) _{\partial K}$	$-\alpha_j(\llbracket u_h \rrbracket)$
Brezzi et al. [23]	$(u_h _K) _{\partial K}$	$-\alpha_r(\llbracket u_h \rrbracket)$



# Tipos de fluxos difusivos - formulação primitiva

DG para eqs.  
elípticas e  
parabólicas

Bruno S.  
Carmo

Introdução

Problemas  
difusivos

Form. inconsistente  
Form. consistente

Tipos de  
fluxos  
difusivos

Method	$B_h(w, v)$
Bassi–Rebay [10]	$g - \langle \{\nabla_h w\}, [\![v]\!] \rangle - \langle [\![w]\!], \{\nabla_h v\} \rangle + (r([\![w]\!]), r([\![v]\!]))$
Brezzi et al. [22]	$g - \langle \{\nabla_h w\}, [\![v]\!] \rangle - \langle [\![w]\!], \{\nabla_h v\} \rangle + (r([\![w]\!]), r([\![v]\!])) + \alpha^r(w, v)$
LDG [41]	see (3.27)
IP [50]	$g - \langle \{\nabla_h w\}, [\![v]\!] \rangle - \langle [\![w]\!], \{\nabla_h v\} \rangle + \alpha^j(w, v)$
Bassi et al. [13]	$g - \langle \{\nabla_h w\}, [\![v]\!] \rangle - \langle [\![w]\!], \{\nabla_h v\} \rangle + \alpha^r(w, v)$
Baumann–Oden [15]	$g - \langle \{\nabla_h w\}, [\![v]\!] \rangle + \langle [\![w]\!], \{\nabla_h v\} \rangle$
NIPG [64]	$g - \langle \{\nabla_h w\}, [\![v]\!] \rangle + \langle [\![w]\!], \{\nabla_h v\} \rangle + \alpha^j(w, v)$
Babuška–Zlámal [7]	$g + \alpha^j(w, v)$
Brezzi et al. [23]	$g + \alpha^r(w, v)$

$$\begin{aligned}
 B_h(u_h, v) = & \int_{\Omega} \nabla_h u_h \cdot \nabla_h v \, dx - \int_{\Gamma} ([\![u_h]\!] \cdot \{\nabla_h v\} + \{\nabla_h u_h\} \cdot [\![v]\!]) \, ds \\
 & + \int_{\Gamma^0} (\beta \cdot [\![u_h]\!] [\![\nabla_h v]\!] + [\![\nabla_h u_h]\!] \beta \cdot [\![v]\!]) \, ds \\
 & + \int_{\Omega} [r([\![u_h]\!]) + l(\beta \cdot [\![u_h]\!])] \cdot [r([\![v]\!]) + l(\beta \cdot [\![v]\!])] \, dx + \alpha^j(u_h, v).
 \end{aligned}$$



# Fluxos difusivos – Consistência e estabilidade

DG para eqs.  
elípticas e  
parabólicas

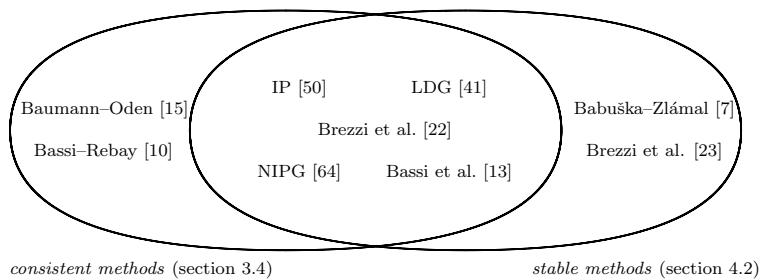
Bruno S.  
Carmo

Introdução

Problemas  
difusivos

Form. inconsistente  
Form. consistente

Tipos de  
fluxos  
difusivos





# Fluxos difusivos - resumo

DG para eqs.  
elípticas e  
parabólicas

Bruno S.  
Carmo

Introdução

Problemas  
difusivos

Form. inconsistente  
Form. consistente

Tipos de  
fluxos  
difusivos

Method	Cons.	A.C.	Stab.	Type	Cond.	$H^1$	$L^2$
Brezzi et al. [22]	✓	✓	✓	$\alpha^r$	$\eta_0 > 0$	$h^p$	$h^{p+1}$
LDG [41]	✓	✓	✓	$\alpha^j$	$\eta_0 > 0$	$h^p$	$h^{p+1}$
IP [50]	✓	✓	✓	$\alpha^j$	$\eta_0 > \eta^*$	$h^p$	$h^{p+1}$
Bassi et al. [13]	✓	✓	✓	$\alpha^r$	$\eta_0 > 3$	$h^p$	$h^{p+1}$
NIPG [64]	✓	✗	✓	$\alpha^j$	$\eta_0 > 0$	$h^p$	$h^p$
Babuška–Zlámal [7]	✗	✗	✓	$\alpha^j$	$\eta_0 \approx h^{-2p}$	$h^p$	$h^{p+1}$
Brezzi et al. [23]	✗	✗	✓	$\alpha^r$	$\eta_0 \approx h^{-2p}$	$h^p$	$h^{p+1}$
Baumann–Oden ( $p = 1$ )	✓	✗	✗	-	-	✗	✗
Baumann–Oden ( $p \geq 2$ )	✓	✗	✗	-	-	$h^p$	$h^p$
Bassi–Rebay [10]	✓	✓	✗	-	-	$[h^p]$	$[h^{p+1}]$